

北海道大学 工学部 徒生工学科 正員 丹保義仁・押川士郎

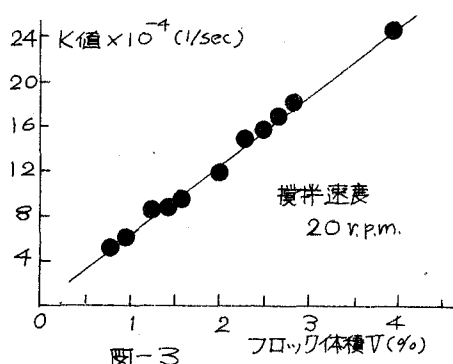
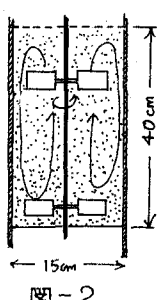
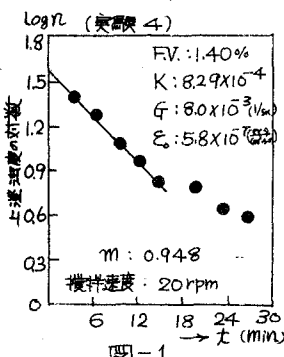
1.はじめに 高速接觸沈澱池におけるフロック形成は大量の母フロックに対して注液をうけて生成した微フロックが吸合されるのが特色であり、Conventional 型のフロッキュレーター内では微フロックの個数濃度 (n) の2次反応であつたフロック成長度が前の1次反応となつてあらわれてくる。また、高速接觸沈澱池においてフロックを形成する方式には2通りがあり、大別してステラー循環型等に典型的に見られる強制攪拌下における乱流運動によるものとスラッシュプランケット型に見られる浮遊している粒子の沈降速度差(上昇速度差)によるものになる。本論においてはこの2つの典型的な場合について理論式をあげ、実際にどの程度の大きさの形成速度を有しているのかを明らかにしたい。

2.強制攪拌下におけるフロック形成 母フロック至 D に比し、マイクロフロック至 d が無視しうるほど小さい場合の接觸フロック形成を支配する式は次のように示される。

$$\frac{dn}{dt} = -3\pi\sqrt{\varepsilon/\mu} D^3 N n = -18V\sqrt{\varepsilon/\mu} n \quad \dots \dots \dots (1)$$

ここで、 n : 単位体積の流体中の微フロック数 ($1/cm^3$)、 N : 単位体積の流体中の母フロック数 ($1/cm^3$)、 ε : 単位時間に単位体積の流体内で失なわれる渦エネルギー ($erg/cm^3 \cdot sec$)、 D : 母フロックの直徑 (cm^3)、 μ : 水の粘性係数 ($g/cm \cdot sec$)、 V : 単位体積の水中に浮遊している母フロックの体積(無次元)、 t : 攪拌経緯時間。

パッチ実験によりあらかじめ母フロックを存在させて接觸攪拌を行つた1例を実験4について図示する。図-1のようである。図に示すように実験結果は1次反応を良く示している。ここで K は1次反応の速度定数で $3\pi\sqrt{\varepsilon/\mu} D^3 N$ である。 D 、 N は実験測定によつた、



これら K 値とフロック体積を用いて $G = \sqrt{\varepsilon/\mu}$ ($1/sec$) E ($erg/cm^3 \cdot sec$) を計算したところ $G \approx 8.0 \times 10^{-3}$ ($1/sec$)、 $E \approx 5.8 \times 10^{-7}$ ($erg/cm^3 \cdot sec$) と見て一般に考えられてゐる値に比して数桁も小さな値であることが知られた。このこ

とから攪拌動力の大半は攪拌槽の水流を保つために消耗されてしまい、フロック形成に有効なものはその極く僅かの部分であることを示している。

もしもフロック形成に有効なエネルギー消費量 E_0 が考える流況下でパドルの運動から計算された全消費量と直線的な関係があるとすれば式(2)のような関係がある。

$$K = -1.8 V \sqrt{\frac{E_0}{\mu}} \sim \sqrt{W/\mu} \sim V^{\frac{3}{2}} \quad \dots \dots \dots (2)$$

ここで、 W : 全動力消費量 ($\text{erg/cm}^3 \text{sec}$)、 V : パドルの線速度 (cm/sec)、回転数 $R \text{ r.p.m.}$ に比例する。そこで $K_{R \text{ rpm}} / K_{20 \text{ rpm}} = (R / 20)^{\frac{3}{2}}$ となり、 $R \text{ rpm}$ を 30, 40, 50 と変えると K_R / K_{20} は図-4 の破線のようになるはずである。しかしながら実測資料の変化はほぼ直線で示され式(2)の式において示されたような単純なパターントでは説明られぬことを示している。この林な整理を行うとフロック体積に関係なく一本の直線で K と回転数の関係が求められる。 K_R / K_{20} と R の関係が直線となっているので R^2 の関係が考える攪拌条件に対して近似出来る。この関係を図示すると図-5 のようである。このように回転数と有効攪拌強度は流れのパターントにより異って来るのでそれぞれの装置についてこの関係を上記の林な手順で求める必要がある。

3 スラッジプランケットにおけるフロック形成

スラッジプランケットの或るレベルの層を考えるとそこに浮遊している至口の無フロックに下部から流れ込んで来る至 d の小フロックが吸収されるとは、粒径の異なる 2 粒子群の沈降衝突に対する式と同じで、沈降がストークス領域であるとすると、 $D \gg d$ の条件を仮定して式-3 のように示される。

$$\frac{dn}{dt} = -\frac{\pi g}{72} \left(\frac{g-1}{J}\right) (D+d)^3 (D-d) N n \hat{=} -\frac{\pi g}{72} \left(\frac{g-1}{J}\right) D^4 N n \quad \dots \dots \dots (3)$$

今上昇流速を v とすると $v = \frac{g(g-1)}{182} D^2$ であるから、 $\frac{dn}{dt} = -\frac{\pi}{4} v D^2 N n$ $\dots \dots \dots (4)$

$dx = v dt$ であるから、 $\frac{dn}{dx} = -\frac{\pi}{4} D^2 N n$ $\dots \dots \dots (5)$ となって対数的に濃度の減衰が生じて行くことである。今フロックの径を 0.5 cm 、上昇流速を $6 \text{ cm/min} = 0.1 \text{ cm/sec}$ 、 $N = 50 \text{ r.p.m.}$ とするとフロックの周囲の流れを定義するレイノルズ数は $Dv/J = 0.05 \times 0.1 / 0.01 = 0.5$ とリリストークスの流れの仮定を充てている。図-6 に示すようにこのようす流れにあっては衝突半径は $\frac{1}{2}D$ よりも小さい $\frac{1}{2}CD$ である

ことが考えられる。実際のプラントの運動条件から式-5 を用いて計算を行うと、

99% 小フロックを除去するに要するプランケット厚は 1 cm 程度のものとなり。

実際の状態と比較すると C は 10^3 程度の桁を持つのではないかと推定される。

この値は D と d の寸法比によって大きく変るはずで d がある値より小さくなると衝突は行なわれないことが知られている。Langmuir が雨滴の成長についてストークス流れを仮定して行った計算を準用すると D が 0.5 mm に対し d が 1 mm にもなると衝突しないと云った矛盾した結果を表し、スラッジプランケット内の流れに対する基本的な解析を更に必要としている。このことから、プランケットでも弱い乱れの存在がプランケット内での衝突を支配していることを暗示し、 C 値の研究が重大な意味をもつ。

